

Ц 840 в
К-191

5950/80

Кангрополь Ю.В. и др.

Б1-15-80-543.



ОБЪЕДИНЕННЫЙ ИНСТИТУТ ЯДЕРНЫХ ИССЛЕДОВАНИЙ

Б1-15-80-543

ДЕПОНИРОВАННАЯ ПУБЛИКАЦИЯ

Дубна 1980

ОБЪЕДИНЕННЫЙ ИНСТИТУТ ЯДЕРНЫХ ИССЛЕДОВАНИЙ

Лаборатория нейтронной физики

Ю.В.Кангрополь, М.Мадея, И.М.Осетинский, А.Туровецки

61-15-80-543

ПРОГРАММА ДЛЯ НАХОЖДЕНИЯ ПО МЕТОДУ НАИМЕНЬШИХ
КВАДРАТОВ ПАРАМЕТРОВ РЕЗОНАНСОВ С УЧЕТОМ ПРЯМОГО
ВЗАИМОДЕЙСТВИЯ

Разработка 1979 г.

31 04 80



Дубна, 1979

Аннотация

Программа предназначена для вычисления сечения неупругого рассеяния, вероятности спин-флипа и поляризации при неупругом рассеянии частиц со спином $1/2$ на четно-четных ядрах с возбуждением 2^+ . В программе учитывается резонансный процесс (ф-ла Брейта - Вигнера), прямой процесс (в рамках связанных каналов или DWBA) и интерференцию между ними. При расчете допускаются две возможности. Первая - теоретический расчет этих величин (при введении параметров резонанса). Вторая - поиск параметров резонанса из сравнения по методу наименьших квадратов, теоретических расчетов со всей совокупностью экспериментальных данных.

I. ВВЕДЕНИЕ.

Продолжающиеся в ОИЯИ исследования вероятности спин-флипа при взаимодействии протонов малых энергий с атомными ядрами потребовали дальнейшего развития программы "SFDR" /I/. С этой целью была составлена программа "DOALL", предназначенная как и "SFDR" для вычисления дифференциального сечения неупругого рассеяния частиц со спином $I/2$ на четно-четных ядрах с возбуждением первого состояния 2^+ , а также вычисления поляризации и вероятности спин-флипа этих частиц прямым образом и через резонансы. Однако, "DOALL" позволяет учитывать прямое взаимодействие не только в приближении DWBA, как это было ранее, но и в рамках метода связанных каналов, что позволило снять ограничение на параметр деформации атомного ядра.

Кроме того, феноменологическое введение резонансов с помощью формулы Брейта-Вигнера, как правило, подразумевает нахождение положения и ширин резонансов из сравнения теоретического расчета с экспериментальными данными. Такая возможность реализована в описываемой программе с помощью подпрограммы "FAMILI", причем параметры резонансов находятся из всей совокупности экспериментальных результатов: энергетических и угловых зависимостей дифференциального сечения, поляризации и спин-флипа. Программа "DOALL" написана на алгоритмическом языке FORTRAN-IV.

II. АМПЛИТУДА НЕУПРУГОГО РАССЕЯНИЯ.

Амплитуда неупротого рассеяния в общем случае может быть записана в следующем виде:

$$\begin{aligned} F^{M_a M_b} = & -\frac{2\pi}{i k_a} \sum (l_a, m_{la}, s_a, m_a / j_a, m_{ja}) \times \\ & \times (J_A, M_A, j_a, m_{ja} / J, M) \times (l_b, m_{lb}, s_b, m_b / j_b, m_{jb}) \times \\ & \times (J_B, M_B, j_b, m_{jb} / JM) \times Y_{l_a, m_{la}}^*(\theta_a, \varphi_a) \times Y_{l_b, m_{lb}}(\theta_b, \varphi_b) \times \\ & \times S_{l_a, j_a, l_b, j_b}^J \times e^{i(\delta_{l_a} + \delta_{l_b})}. \end{aligned} \quad (I)$$

где k_a – волновое число налетающей частицы,

l_a, m_{la}, l_b, m_{lb} – орбитальные моменты и их проекции налетающей и рассеянной частиц соответственно;

s_a, m_a, s_b, m_b – спины и их проекции налетающей и рассеянной частиц соответственно;

J_A, M_A, J_B, M_B – спины и их проекции начального и конечного ядра мишиени;

J, M – полный момент системы и его проекция;

S_{l_a, j_a, l_b, j_b}^J – S – матрица рассеяния;

$\delta_{l_a}, \delta_{l_b}$ – кулоновские фазы для входного и выходного каналов соответственно.

Суммирование ведется по $l_a, m_{la}, l_b, m_{lb}, j_a, m_{ja}, j_b, m_{jb}, J$ и M .

В случае рассеяния протонов на четно-четном ядре с возбуждением состояния 2^+ , т.е. $J_A = 0$, $S_a = S_b = 1/2$, $J_B = 2$ и оси Z , направленной перпендикулярно плоскости реакции, амплитуда примет вид:

$$\begin{aligned} F^{M_a M_b} = & -\frac{2\pi}{i k_a} \sum (l_a, m_{la}, 1/2, m_a / J, M) \times \\ & \times (l_b, m_{lb}, 1/2, m_b / j_b, m_{jb}) \times (2, M_B, j_b, m_{jb} / J, M) \times \\ & \times Y_{l_a, m_{la}}^*(\frac{\pi}{2}, 0) \times Y_{l_b, m_{lb}}(\frac{\pi}{2}, \varphi) \times S_{l_a, l_b, j_b}^J \times e^{i(\delta_{l_a} + \delta_{l_b})} \end{aligned} \quad (2)$$

Таким образом, вычисление амплитуды рассеяния сводится к вычислению S -матрицы по той или иной модели. В частности, в приближении DWBA S -матрица выражается через интегралы перекрытия следующим образом /2/:

$$D S_{l_a, J, l_b, j_b}^J = \frac{\beta \mu \cdot \sqrt{5}}{(2\pi \cdot k_a \cdot k_b)^{1/2} \hbar^2} \times i^{l_a + l_b + 1} \times (-1)^{\frac{J}{2} + J} \times (l_b, 0, 2, 0 / l_a, 0) \times \\ \times \begin{Bmatrix} l_b & l_a \\ \frac{1}{2} & j_a & j_b \end{Bmatrix} \times f_{l_a, J, l_b, j_b}$$

где $\mu = \frac{m_a \cdot m_b}{m_a + m_b}$ - приведенная масса,

k_b - волновое число вылетающей частицы,

f_{l_a, J, l_b, j_b} - интегралы перекрытия /1,2/,

β - параметр деформации ядра мишени.

В случае учета прямого процесса по методу связанных каналов, S -матрица получается из решения системы связанных уравнений /3/:

$$-\frac{\nabla^2}{2m} \rho_\alpha(\vec{r}) + \sum_\alpha V_{\alpha\alpha}'(\vec{r}) \rho_\alpha'(\vec{r}) = (E - E_\alpha) \rho_\alpha(\vec{r})$$

где $V_{\alpha\alpha}'(\vec{r}) = \int d\vec{z} \varphi_\alpha^*(\vec{z}) V(\vec{r}, \vec{z}) \varphi_\alpha'(\vec{z})$

Здесь $\varphi_\alpha(\vec{z})$ - собственные волновые функции ядра мишени, вычисляемые по той или иной модели (ротационной, вибрационной и т.д.);

$V(\vec{r}, \vec{z})$ - полная потенциальная энергия системы, состоящей из ядра мишени и налетающей частицы;

α - совокупность квантовых чисел и номер канала.

Асимптотическое поведение радиальных волновых функций определяет S -матрицу и имеет вид:

$$\rho_{l_a, l_a, j_a}^J = \frac{k_a \cdot r}{2} \left(M_{l_a}^{(2)}(k_a, r) + {}^D S_{l_a, l_a, j_a, a, l_a, j_a}^J \times M_{l_a}^{(1)}(k_a, r) \right)$$

$$\rho_{l_b, l_b, j_b}^J = \frac{k_b \cdot r}{2} {}^D S_{l_a, l_a, j_a, b, l_b, j_b}^J M_{l_b}^{(1)}(k_b, r)$$

где $M_l^{(1)}$ и $M_l^{(2)}$ - кулоновские регулярная и нерегулярная волновые функции.

При низких энергиях в канале неупругого рассеяния наблюдается большое количество изолированных резонансов, которые могут быть учтены при расчетах сечения, поляризации и спин-флипа путем добавления к S -матрице прямого процесса S -матрицы в виде Брейта-Вигнера /4/:

$${}^R S_{l_R J_R l_b j_b}^{J_R} = \frac{g_{l_R J_R}^{in} \cdot g_{l_b j_b}^{out} \cdot e^{-i\varphi_{l_b j_b}}}{E - E_R + i\Gamma_R/2} \quad (4)$$

где E_R - энергия резонанса,

Γ_R - полная ширина резонанса,

$g_{l_R J_R}^{in}$ - амплитуда образования резонанса,

$g_{l_b j_b}^{out}$ - парциальная амплитуда распада резонанса,

$\varphi_{l_b j_b}$ - фаза,

J_R, l_R - спин и орбитальный момент резонанса.

Из унитарности полной S -матрицы следует, что $g_{l_R J_R}^{in}$ и $g_{l_b j_b}^{out}$ не являются независимыми величинами и связаны друг с другом соотношением:

$$\begin{aligned} g_{l_R J_R}^{in} &= {}^D S_{a l_R J_R a l_R J_R}^{J_R} \times g_{l_R J_R}^{out EL} \times e^{i\varphi_{l_R J_R}} \times e^{i2\delta_{l_R}} + \\ &+ \sum_{b, l_b, j_b} {}^D S_{a l_R J_R b l_b j_b}^{J_R} \times g_{l_b j_b}^{out} \times e^{i\varphi_{l_b j_b}} \times e^{i(\delta_{l_R} + \delta_{l_b})} \end{aligned}$$

где $g_{l_R J_R}^{out EL}$ - амплитуда распада резонанса во входной канал.

Ш. СЕЧЕНИЕ, ПОЛЯРИЗАЦИЯ И СПИН-ФЛИП.

В случае оси \mathcal{Z} , направленной перпендикулярно плоскости реакции, сечение, поляризация и спин-флип могут быть выражены через сечения, отвечающие определенным проекциям спина налетающей и рассеянной частиц:

$$\frac{d\sigma}{d\Omega}^{m_a m_b} = \sum_{M_B} |F^{M_B m_a m_b}|^2 \quad (5)$$

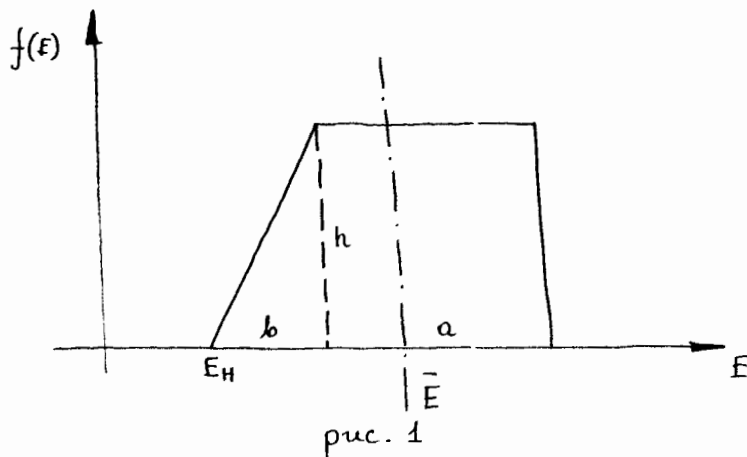
При отсутствии поляризации у налетающих частиц, для сечения, поляризации и спин-флипа имеем:

$$\frac{d\sigma}{d\Omega} = \frac{1}{2} \sum_{m_a m_b} \frac{d\sigma}{d\Omega}^{m_a m_b} \quad (6)$$

$$P = \frac{\sum_{m_a m_b} (-1)^{m_b - \frac{1}{2}} \cdot \frac{d\sigma}{d\Omega}^{m_a m_b}}{\frac{d\sigma}{d\Omega}} \quad (7)$$

$$S = \frac{\sum_{m_a} \frac{d\sigma}{d\Omega}^{m_a, -m_a}}{\frac{d\sigma}{d\Omega}} \quad (8)$$

Для правильного описания экспериментальных результатов в области энергий, в которой в функции возбуждения присутствуют довольно узкие резонансы, необходимо учитывать конечную толщину мишени и немонохроматичность по энергии налетающих частиц. Закон $f(E)$, по которому распределены энергии частиц к моменту взаимодействия с ядрами мишени, сложен, но с достаточной точностью в качестве него может быть взята функция в виде трапеции, представленной на рис. I.



Из нормировки $\int f(E) \cdot dE$ на единицу следует, что величины a , b , h , E_H и \bar{E} связаны между собой соотношениями

$$h = \frac{2}{2a + b} \quad \bar{E} = E_H + \frac{(b+a)^2 - b^2/3}{2a + b}$$

Таким образом, наблюдаемое сечение $\frac{d\sigma^{m_a m_b}}{d\Omega}$ будет иметь вид:

$$\frac{d\sigma^{m_a m_b}}{d\Omega} = \int_{E_H}^{E_H + a + b} f(E) \cdot \frac{d\sigma^{m_a m_b}}{d\Omega} dE$$

При усреднении мы будем считать, что в области энергии от E_H до $E_H + a + b$, которая обычно не превосходит 100 кэВ, прямой процесс не зависит от энергии. В этом приближении

$$\frac{d\sigma^{m_a m_b}}{d\Omega} = \sum_{m_B} \left\{ |D_F^{m_B m_a m_b}|^2 + Re \sum_{R R'} B_R B_{R'}^* \frac{A_{R'}^* - A_R}{(E_R + i\Gamma_R/2) - (E_{R'} - i\Gamma_{R'})} + \right. \\ \left. + 2 Im D_F^{m_B m_a m_b} \sum_{R R'} A_R B_{R'} \right\} \quad (9)$$

где $D_F^{m_B m_a m_b}$ – амплитуда прямого взаимодействия, а R и R' пробегают значения по всем учитываемым резонансам. Для величин A_R и B_R имеем:

$$A_R = \frac{\hbar}{b} \left[b + (E_R - E_H - i\frac{\Gamma_R}{2}) \cdot \ln \left(1 + \frac{b}{E_H - E_R + i\frac{\Gamma_R}{2}} \right) + b \cdot \ln \left(1 + \frac{a}{E_H - E_R + i\frac{\Gamma_R}{2} + b} \right) \right]$$

$$B_R = -\frac{2\pi}{ik_a} \sum_{m_b l_b j_b} (\chi_{l_b} m_{l_b} \frac{1}{2} m_a / J_R M_{J_R}) (\chi_b m_{l_b} \frac{1}{2} m_b / j_b m_{j_b}) \times \quad (10)$$

$$\times (2 M_b j_b m_{j_b} / J_R M_{J_R}) Y_{l_R m_{l_R}}(\frac{\pi}{2}, 0) Y_{l_b m_{l_b}}(\frac{\pi}{2}, \theta) \times$$

$$\times e^{-i \varphi_{l_b j_b}} \cdot g_{l_R l_b}^{in} \cdot g_{l_b j_b}^{out}$$

НАХОЖДЕНИЕ ПАРАМЕТРОВ РЕЗОНАНСОВ ИЗ
ЭКСПЕРИМЕНТАЛЬНЫХ РЕЗУЛЬТАТОВ.

Параметры резонансов могут быть найдены из сравнения экспериментальных результатов с теоретическими расчетами по методу "наименьших квадратов", т.е. минимизацией величины

$$\chi^2 = \frac{1}{n-m} \sum_{i=1}^n \left(\frac{f_3(x_i, y_i, \dots) - f_T(x_i, y_i, \dots, d_1, d_2, \dots, d_m)}{\Delta f_3(x_i, y_i)} \right)^2$$

где n - число экспериментальных точек,

m - число параметров,

$f_3(x_i, y_i)$ - значение экспериментальной величины при аргументах

x_i, y_i, \dots ,
 $\frac{\Delta f_3(x_i, y_i, \dots)}{f_T(x_i, y_i, \dots, d_1, d_2, \dots, d_m)}$ - значение ошибок экспериментальной величины
 $-$ теоретическое значение, вычисленное
 при аргументах x_i, y_i, \dots
 и параметрах d_1, d_2, \dots, d_m .

В описываемой программе минимизация χ^2 реализована с помощью библиотечной подпрограммы *FUMILI*, причем в качестве аргументов используются энергия налетающих частиц и угол, при которых измерялись сечение, поляризация и спин-флип. Параметрами

являются величины:

$$g_{l_R l_R l_b j_b} = e^{-i\varphi_{l_b j_b}} \cdot g_{l_R l_R}^{in} \cdot g_{l_b j_b}^{out}; \quad (I3)$$

а также положения и полные ширины резонансов. Если предположить, что распад резонанса идет только в упругий канал и канал с возбуждением состояния 2^+ ядра мишени, т.е.:

$$\vec{T}_R^* = (g_{l_R j_R})^2 + \sum_{l_b j_b} (g_{l_b j_b}^{out})^2 \quad (I4)$$

и известно $(g_{l_R j_R}^{out EL})^2$, то величины $g_{l_b j_b}^{out}$ и $\varphi_{l_b j_b}$ могут быть найдены по следующим формулам:

$$g_{l_b j_b}^{out} = \frac{1}{\sqrt{\sum_{l_b j_b} |g_{l_R j_R l_b j_b}|^2}} \frac{1}{\sqrt{T_R - (g_{l_R j_R}^{out EL})^2}}; \quad \varphi_{l_b j_b} = -\arg(g_{l_R j_R l_b j_b}) \quad (I5)$$

В том случае, если известна S -матрица упругого рассеяния, $g_{l_R j_R}^{out EL}$ может быть найдена из формул (5) и (I5).

ОПИСАНИЕ ПРОГРАММЫ.

В программе "DOALL" на основе формул 2 - II вычисляются сечение, поляризация и спин-флуктуации с учетом как прямого взаимодействия протонов с ядром, так и через резонансы, причем в специальном режиме она на основе метода наименьших квадратов находит параметры резонансов из сравнения теоретических расчетов с экспериментальными данными. В качестве экспериментальных данных могут быть взяты угловые и энергетические зависимости дифференциального сече-

ния, поляризации и спин-флипа. Метод наименьших квадратов реализован на основе подпрограммы " *FUMILI* ". Прямое взаимодействие считается независящим от энергии в интервале, в котором заданы экспериментальные данные.

Программа содержит следующие подпрограммы:

AMPL, *AMPLE* - предназначены для вычисления амплитуд резонансного рассеяния и их производных по параметрам резонансов в случае отсутствия и наличия усреднения по энергии соответственно;

AMPLS - вычисляет амплитуды прямого взаимодействия;

INTS - пересчитывает по формуле З интегралы перекрытия в *S*-матрицу;

DSECH - вычисляет сечение, поляризацию и спин-флип и их производные по параметрам резонансов;

FFUN - вычисляет A_k и их производные по E_k и γ_k ;

WIDTH - вычисляет параметры резонансов и их ошибки;

CLEBSH - вычисляет коэффи. Клебша-Гордана вида $(2M, jm; JM)$;

FACTR - предназначена для вычисления $\ln(n!)$, $\ln(2n!!)$ и $\ln((2n+1)!!)$;

SPHER - вычисляет $Y_{lm}(\pi/2, \theta)$;

ARITHM - подпрограмма, предназначенная для работы " *FUMILI* ".

НАЧАЛЬНЫЕ ДАННЫЕ И ПОРЯДОК ПЕРФОКАРТ.

I п/к - 50 произвольных символов (эти символы будут отпечатаны и поэтому с помощью их можно отличать один вариант от другого);

2 п/к $JBMAX$ - максимальный удвоенный полный момент вылетающей частицы при прямом взаимодействии ($JBMAX \leq 50$), формат I2;

$0 < NR \leq 8$ - количество учитываемых резонансов, формат I1;

NT - количество экспериментальных точек, формат I3;

KLV - при $KLV = 0$ прямое взаимодействие вычисляется в рамках связанных каналов, при $KLV \neq 0$ прямое взаимодействие учитывается в приближении DWBA. В случае $JBMAX = 0$ прямое взаимодействие не учитывается, формат I1;

$KLV1$ - при $KLV1 = 0$ будут вычислены Γ_{po}^{out} , при $KLV1 = 1$ Γ_{po}^{out} считаются заданными. Формат I1;

$KLV2$ - всегда равно нулю. Формат I1;

3 п/к AP - масса налетающей частицы в единицах массы протона.

Формат F 3.1;

AT - масса ядра мишени в единицах массы протона. Формат F 5.1;

α и β - параметры функции распределения частиц по энергиям (кэВ), формат 2F 7.3 при $\alpha = \beta = 0$ усреднения не производится. В случае $\alpha \neq 0$ значение β не может равняться нулю.

BETTA - в том случае, если прямое взаимодействие учитывается в приближении DWBA $BETTA = 0.097552 \times \beta \cdot \left(\frac{AP}{\sqrt{E_\alpha \cdot E_\beta}} \right)^{1/2}$, где β - параметр деформации ядра мишени, E_α - энергия в ЛСК налетающей частицы (МэВ), E_β - энергия в ЛСК $\overline{\text{рассейнной частицы}}$ (МэВ). В остальных случаях значение BETTA безразлично. Формат F 7.3;

4 п/к и т.д. SEL - S - матрица упругого рассеяния для ℓ и j , равных угловому и полному моментам резонансов в той же последовательности, что и резо-

нансы. Число элементов -матрицы, таким образом, должно равняться числу резонансов. Для каждого элемента пробиваются сначала реальная часть, а затем мнимая. Формат $IO F 8.6$;

5

- если $JBMAX \neq 0$, то далее должны быть заданы значения S -матрицы или интегралы перекрытия в зависимости от значения параметра KLU . Величины $S_{l_a j, l_b j_b}^j$ и $f_{l_a j, l_b j_b}$ должны быть заданы в следующем порядке: каждая перфокарта содержит S или f для заданного l_b и j_b , причем $l_b \geq 0$ и $j_b \geq 0$ изменяются от меньших к большим. На заданной перфокарте должно находиться IO чисел для $j_b - 2 \leq j \leq j_b + 2$, причем для каждого набора $l_b j_b l_a j$ - сначала реальная часть, а затем мнимая. Если j удовлетворяет неравенству и меньше нуля, то значение S и f нужно положить равными нулю. Формат $IO F 8.6$. Количество перфокарт должно равняться $JBMAX$. При

6

$KLU1 = 1$ должны быть заданы Γ_S для всех резонансов и их погрешности (кэВ). Формат $8 F 6.2$. Все Γ_S записываются на одной перфокарте, а на следующей - их погрешности. Если $KLU1 = 2$, то задаются Γ_0 и их погрешности (кэВ) по тому же формату, что и Γ_S . Для каждого резонанса задаются Reg , Img , Γ_k , E_k , l_k , j_k и их погрешности в следующем порядке:

7

- 1 п/к $(Reg)_{j_b=J_R-2}$, $(Img)_{j_b=J_R-2}$,
 $(Reg)_{j_b=J_R-1}$, $(Img)_{j_b=J_R-1}$, ...,
 $(Reg)_{j_b=J_R+2}$, $(Img)_{j_b=J_R+2}$;
- 2 п/к погрешности этих величин в том же порядке.
 Обе перфокарты в формате $10 F 8.6$.
- 3 п/к Γ_R (кэВ) ($F 6.2$), E_R (МэВ) ($F 6.4$),
 λ_R ($F 3.1$); j_R ($F 3.1$);
- 4 п/к погрешности полной ширины и положения резонанса в формате $2 F 6.3$.
- Погрешности могут быть равными нулю, причем для варьируемых параметров их значение не играет роли, так как они будут вычислены в процессе работы программы.
8. IV - массив длиной $12 \times NR$ в формате $50I1$.
 Этот массив содержит информацию о том, какие параметры резонансов изменять при работе программы, "FUMILI", а какие нет. Каждые двенадцать элементов этого массива соответствуют 12 параметрам резонанса: 10 величинам Reg и Img в том порядке, как они вводятся, Γ_R и E_R . Если параметр варьируется, то $IV = 1$, иначе $IV = 0$. Число варьируемых параметров не должно превосходить 50.

9. Если варьируется по крайней мере один параметр, то далее должны быть заданы экспериментальные результаты. Каждая перфокарта соответствует одному экспериментальному значению и

EPS - точность для "FUMILI". Формат F 4.2;
Оба числа пробиваются на одной перфокарте.

~~Номер~~
~~Состав~~
~~Масса~~

Литература

1. Ван Сын Чан, К.А.Гридинев, Ю.В.Канграполь, Л.В.Краснов, М.Мадея, Г.М.Осетинский. Сообщение ОИЯИ, ИО-И0340, 1977.
2. Satchler G.K. Nucl.Phys., 1964, 55, 1
3. T. Tamura. Rev. of Modern Phys 17(1) 1963, 679
4. Дж.Тейлор. "Теория рассеяния", изд. "Мир", 1975.г.Москва.

*Иван
Канд*